



## BAZALTLARDA İSİL İLETKENLİK VE ISI DEPOLAMADA OLİVİNİN SERPANTİNLEŞMESİNİN ETKİSİ

Erdoğan TİMURKAYNAK<sup>1,3</sup>, Kadir KARAMAN<sup>2</sup>, Hasan KOLAYLI<sup>1</sup>, Yaşar Çakır<sup>4</sup>

<sup>1</sup> Karadeniz Teknik Üniversitesi Mühendislik Fakültesi, Jeoloji Mühendisliği Bölümü, 61080, Trabzon

<sup>2</sup> Karadeniz Teknik Üniversitesi, Mühendislik Fakültesi, Maden Mühendisliği Bölümü, 61080, Trabzon

<sup>3</sup> Karadeniz Teknik Üniversitesi, Metalurji ve Malzeme Müh. Bölümü, 61080, Trabzon

<sup>4</sup> Trabzon Valiliği Planlama ve Koordinasyon Daire Başkanlığı, Trabzon

### Anahtar Kelimeler

Bazalt,  
İsil İletkenlik,  
İsi Depolama,  
Porozite,  
Serpantinleşme Oranı.

### Öz

Bu çalışmada, artan serpantinleşme oranı ile kayanın işil iletkenlik katsayısı, işil geçirgenlik ve porozitesi arasında bir ilişki gözlemlenmiş ve serpantinleşmenin nedenleri araştırılmıştır. Çalışma alanı stratigrafik açıdan farklı kot seviyelerinde bulunmakta olup, örnekleme noktalarına göre üç gruba (A1, M2 ve M3) ayrılmıştır. Ayrıca petrografik ince kesit çalışmaları ve Taramalı Elektron Mikroskopu (TEM) analizleri yapılmıştır. Mineralojik ince kesit analizleri, olivinin serpantinleşmesinin A1, M2 ve M3 bazaltları için sırasıyla ortalama % 8.25, % 24 ve % 75.5 olduğunu göstermiştir. Olivinlerdeki artan serpantinleşme oranı nedeniyle işil iletkenlik katsayıları ve işil geçirgenlik değerleri oldukça azalmıştır. TEM analizlerine göre M2 ve M3 bazaltlarında mikro çatlaklar yoğun bir şekilde bulunmaktadır. İşil iletkenlik katsayısı ile serpantinleşme oranı ve porozite (%) arasındaki korelasyon oranı hem kuru hem de doymuş numuneler için 0.90-0.99 arasında değişmiştir. Volkan konisi ile fay hattının yakınlığı ve M3'ün stratigrafik olarak daha yüksek kotlardaki konumu serpantinleşmeye neden olan önemli faktörler olarak değerlendirilmiştir. Sonuç olarak ısı depolama malzemesi olarak kullanılan kayaçlara ait büyük ölçekli sahalarda işil iletkenlik ve işil geçirgenlik katsayılarındaki değişimler araştırılmalı ve varsa serpantinleşme gibi alterasyon ürünlerini kontrol edilmelidir.

## EFFECT OF SERPENTINIZATION OF OLIVINE ON THERMAL CONDUCTIVITY AND HEAT STORAGE IN BASALTS

### Keywords

Basalt,  
Thermal Conductivity,  
Thermal Storage,  
Porosity,  
Serpentinization Rate.

### Abstract

In this study, a relationship was observed between the increasing degree of serpentization and the thermal conductivity coefficient, thermal diffusivity and porosity of the rock, and the reasons for the serpentization were investigated. The study area is located at different stratigraphically levels and is divided into three groups (A1, M2 and M3) according to the sampling points. In addition, petrographic thin section studies and Scanning Electron Microscope (SEM) analyzes were performed. Mineralogical thin section analyzes showed that the serpentization of olivine averaged 8.25%, 24% and 75.5% for A1, M2 and M3 basalts, respectively. Due to the increasing degree of serpentization in olivines, the thermal conductivity coefficients and thermal diffusivity values have decreased considerably. According to SEM analysis, microcracks are intense in M2 and M3 basalts. The degree of correlation between the coefficient of thermal conductivity with the degree of serpentization and porosity (%) varied between 0.90 and 0.99 for both dry and saturated samples. The proximity of the volcanic cone and the fault line and the stratigraphical location of M3 at higher elevations were considered as important factors causing serpentization. As a result, changes in thermal conductivity coefficients and thermal diffusivity should be investigated in large-scale areas of rocks used as heat storage material and alteration products such as serpentization should be checked.

\* İlgili yazar / Corresponding author: tkaynak@ktu.edu.tr, +90-462-377-2065

**Alıntı / Cite**

Timurkaynak, E., Karaman, K., Kolaylı, K., Çakıcı, Y., (2023). Bazaltlarda Isıl İletkenlik ve Isı Depolamada Olivinin Serpantinleşmesinin Etkisi, Mühendislik Bilimleri ve Tasarım Dergisi, 11(4), 1486-1495.

<b>Yazar Kimliği / Author ID (ORCID Number)</b>	<b>Makale Süreci / Article Process</b>
E. Timurkaynak / N. Surname, 0000-0001-9311-539X	<b>Başvuru Tarihi / Submission Date</b> 07.08.2023
K. Karaman / N. Surname, 000-0002-3831-4465	<b>Revizyon Tarihi / Revision Date</b> 16.10.2023
H. Kolaylı / N. Surname, 0000-0003-3629-7371	<b>Kabul Tarihi / Accepted Date</b> 17.10.2023
Y. Çakır / N. Surname, 0000-0002-0580-4599	<b>Yayım Tarihi / Published Date</b> 30.12.2023

## **EFFECT OF SERPENTINIZATION OF OLIVINE ON THERMAL CONDUCTIVITY AND HEAT STORAGE IN BASALTS**

Erdoğan TİMURKAYNAK<sup>†1,3</sup>, Kadir KARAMAN<sup>2</sup>, Hasan KOLAYLI<sup>1</sup>, Yaşar Çakır<sup>4</sup>

<sup>1</sup>Karadeniz Teknik Üniversitesi Mühendislik Fakültesi, Jeoloji Mühendisliği Bölümü, 61080, Trabzon

<sup>2</sup> Karadeniz Teknik Üniversitesi, Mühendislik Fakültesi, Maden Mühendisliği Bölümü, 61080, Trabzon

<sup>3</sup> Karadeniz Teknik Üniversitesi, Metalurji ve Malzeme Müh. Bölümü, 61080, Trabzon

<sup>4</sup> Trabzon Valiliği Planlama ve Koordinasyon Daire Başkanlığı, Trabzon

### **Highlights (At least 3 and maximum 4 sentences)**

- The serpentinization of basalts was investigated.
- The serpentinization degree of basalt was determined and its porosity was determined.
- The thermal conductivity of basalt undergoing serpentinization was investigated.
- The importance of serpentinization in terms of heat storage is indicated

### **Purpose and Scope**

The aim of this study is to evaluate basalts according to their serpentinization degree and thermal conductivity coefficients in terms of heat storage and to consider these variables while these rocks are used for heat storage, in determining the type of basalt to be used.

### **Design/methodology/approach**

Thermal conductivity and apparent porosity of basalt samples were obtained. Serpentinization of olivine minerals was investigated by thin section analysis. The relationships between thermal conductivity with porosity and serpentinization rate were evaluated.

### **Findings**

The thermal conductivity coefficients of basalt with a high degree of serpentinization have decreased considerably. In addition, according to SEM analyzes and mineralogical analyzes M3 rock was found to have the highest porosity and the lowest porosity rock was determined as M1 rock.

### **Originality**

The importance of basalts in terms of heat storage has been examined in previous studies. However, in our study, the fact that the heat storage property of basalt increased or decreased according to the degree of serpentinization was determined by measuring the thermal conductivity coefficients, and basalt was classified in terms of heat storage.

<sup>†</sup> Corresponding author: tkaynak@ktu.edu.tr, +90-462-377-2065

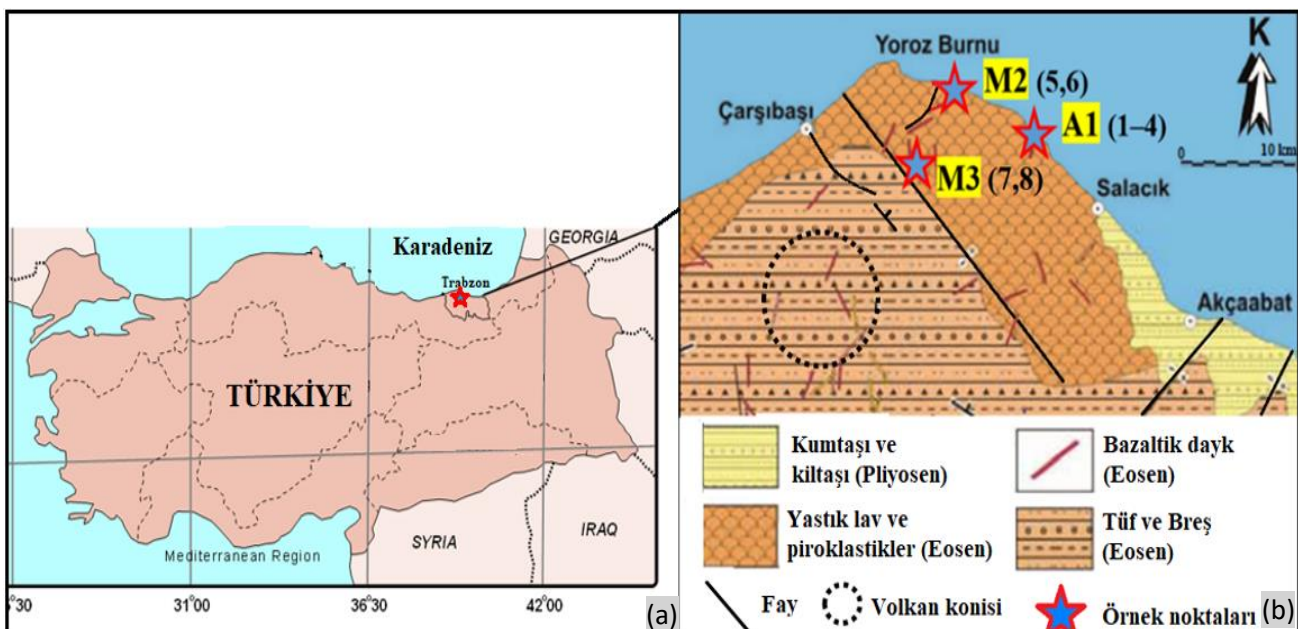
## 1. Giriş (Introduction)

İsı enerjisi, maddenin iç enerjisindeki farklılaşma ile duyulur ısı, gizli ısı, tepkime ısısı ya da bunların birleşimi olarak depolanır. Duyulur ısı depolama yönteminde, ısı depolayan malzemenin mevcut sıcaklığının değişimi ile ortaya çıkan ısıdan yararlanılır. Gizli ısı depolamasında, faz değişimi gösteren maddeler (FDM) kullanılır. Depolama maddesinin faz değiştirmeye esnasında, depolama işlemindeki sıcaklık aralığında ortaya çıkan gizli ısı belirlenir. Bu amaçla belirli sıcaklıklarda ergime, buharlaşma veya diğer faz değişimlerine ugrayan malzemelerden yararlanılır. Termokimyasal depolama metodunda ise ısı enerjisi bir bileşigin bağı enerjisi olarak depolanabilir (Kozak ve Kozak, 2012). Kaya gibi katı malzemeler, metaller, beton, kum, tuğla vb. malzemeler düşük ve yüksek sıcaklıkta termal enerji depolama için kullanılabilir (Hasnain vd., 1996). Genellikle kaya kütleleri veya çakıl yatakları düşük maliyetleri nedeniyle depolama malzemesi olarak tercih edilir. Kaya kütlesi veya çakıl yatağı, gevşek bir şekilde paketlenmiş kaya malzemesinden oluşur. Depolama sisteminde depolanan enerji, malzemenin termofiziksel özellikleri, kaya boyutu ve şekli, paketleme yoğunluğu, ısı transferi sıvısı gibi parametrelerle bağlıdır. Ayrıca ısı enerjisi kaya kütlelerinde veya çakıllarda (yalıtımlı kaplarda paketlenmiş) depolanabilir. Araştırmacılar, kaya dolgulu yatağın ısı transfer özellikleri hakkında çok sayıda çalışma yürütmüşlerdir (Schumann, 1929). (Furnas 1930) ilk ısı depolama malzemesi olarak ideal dolgulu yataklı kayayı önerdi, sonra ısı transferi ile ilgili deneysel ısı transferi çalışmaları yürütmüş olup kayaçlarla dolu bir yataktan ısı akışı ne kadar fazla olursa kayaçların etkili ısı transfer katsayısı o kadar çok yüksek olduğu belirtilmiştir. Termal enerji, hissedilir ısı ve gizli ısı olarak depolanabilir. Duyulur ısı depolama sistemleri genellikle depolama ortamı olarak kayaları veya suyu kullanır. İsi, depolama ortamı sıcaklığı artırtılarak depolanır. Gizli ısı depolama sistemleri enerjiyi faz değiştiren malzemelerde depolar. İsi, malzemenin katıdan sıviya faz değiştirmeye esnasında depolanır (Dincer, 1999). Gevşek bir şekilde paketlenmiş kaya yatağı ısı depolama ortamı olarak kullanılır ve ısıyı 685 °C'ye kadar depolar (Park vd., 2014). Karakterizasyon deneysleri silikanın potansiyelini göstermiş olup, kayaçlara termal işlem uygulamakta ve özellikle 250 °C'den daha yüksek sıcaklıklarda kayaların ısı performansı iyileşmektedir (Jemmala ve Zari, 2017). Eriterek söndürme yöntemiyle bazalt camları hazırlanmıştır. Bazalt camının yüksek sıcaklıkta ısı depolamaya uygulanabilirliği incelenmiş olup yapılan çalışmada, bazalt camlarının kimyasal bileşimi ve yapısı belirlenmiştir. Bu işlem sırasında sıcaklık ve bileşimin; yoğunluk, ısı kapasitesi, termal difüzyon gibi temel termofiziksel özellikler üzerindeki etkisi incelenmiş olup, iletkenlik ve termal genleşme bir dizi termal döngü sırasında analiz edilmiştir. Bazalt camının son derece yüksek ısı depolama, performansı, termal kararlılığı ve çalışma sıcaklığı 1000 °C kadar uygun, güneş enerjisi ısı depolama malzemesi olarak kullanılabilir olduğu gösterilmiştir (Liu vd., 2020). İnce taneli bazalt kayaçlarının yüksek enerji depolama uygulamalarında dolgu malzemesi olarak kullanılma potansiyeli 700 °C ye kadar konsantre güneş enerjisi santrallerinde uygulanmıştır. Düşük maliyet ve kolay bulunabilirliklerine ek olarak, düşük çevresel etkilerde bazalt kayaçları yüksek termo-fiziksel özellik ve iyi termal kararlılık göstermiştir (Nahhas ve Py, 2019). Günümüzde alternatif termal enerji depolama malzemeleri geliştirmek için yoğun bir araştırma vardır. Konsantre güneş santralleri için 800–1000 °C sıcaklık aralığında bazalt kaya kütleleri seçilir ve bu bazaltların ısıtma işlemi sırasında (1000 °C'ye kadar) mineralojisinin, bileşiminin ve dokusunun termal özellikler üzerindeki etkisi değerlendirilmiştir (Benjamin vd., 2017). Gözenekli ortamda ısı kayipları ve işnimla ısı transferinin varlığı şarj ve deşarj süreçlerinde artış tespit edilmiştir (Andreozzi vd., 2012). Harry Thomasson yöntemi, suyun kullanıldığı en uygun yöntemlerden biri olup kaya ile birlikte kullanılmaktadır. Bu sisteme kayalar ve su içeren tank bir izolasyon ile çevrilidir. Bu sistemin avantajı, suyun ve kayaların ısı kapasitesinin çok yüksek olmasıdır. Hava ile temas eden kayanın yüzeyi arttıkça kayanın absorbe edeceği ısı kapasiteside fazla olacaktır (Dincer, 2002).

## 2. Materyal ve Yöntem (Material and Method)

Bu çalışmada kullanılan bazaltlar, Trabzon ili, Akçakale-Mersin mahalle sınırları içinde 3 ayrı sahadan temin edilmiştir. Eosen yaşı bazaltlar yine aynı yaşı piroklastitler içinde kalınlığı 12-15 metre arasında olan prizmatik dayk şeklinde bulunurlar (Şekil 1). 3 farklı sahadan alınan bazaltlar; Akçakale 1 (A-1), Mersin 2 (M-2), Mersin 3 (M-3) şeklinde kodlanmıştır.

Bu çalışmada, farklı gözenek ve alterasyon özelliklerine sahip bazaltların termal iletkenlik katsayısı araştırılmış ve ayrıca gözenek ve alterasyonun ısı depolama üzerindeki etkisi irdelemiştir.



**Şekil 1.** Çalışma sahanının yer bulduru (a) ve jeolojik haritası (b) (Yücel vd., 2014'ten değiştirilmiştir)  
(Location (a) and geological map of the study area (b) (modified from Yücel 2013)

## 2.1. Deneysel çalışmalar (Experimental studies)

Farklı serpentinleşme oranına sahip A1, M2, M3 lokasyonlarındaki bazalt örneklerinin termal iletkenlikleri ısı iletim katsayısı ölçme cihazı ile belirlenmiş olup termal geçirgenlikleri ise bazalt örneklerinin adyabatik sistem içerisinde özgül ısı sabitlerinin ( $c_p$ , bazalt) bulunması ile Karadeniz Teknik Üniversitesi Metalurji ve Melzeme Mühendisliği Bölümü labratuarında gerçekleştirilmiştir. A1, M2 ve M3 lokasyonlarına ait bazalt örnekleri için kuru ve doymuş bazalt numuneleri olarak ölçümler toplamda 106 adet olacak şekilde yapılmıştır.

Her test üç kez tekrarlandı ve değerlerin ortalaması alınarak termal iletkenlik değerleri hesaplandı. Bu çalışmada termal iletkenlik ölçümlerinde kullanılan sensör 0-2 °C arasında hassas olup, bazaltlar için sıcaklık farkı 1 °C olarak alınmıştır. Bu çalışmada kullanılan numunelerin boyutları yaklaşık 6x4x1.5 cm<sup>3</sup>'tir. Ölçümler sırasında plakalar arasında boşluk kalmayacak şekilde yüzeyler düzleştirilmiş ve parlatılmıştır. Bu nedenle plakalar arası ısı transfer katsayısını ölçmek için kullanılan prob her iki yüzeye tam temas halindedir.

Porozite (%) deneylerinde toplam 40 adet silindirik şekilli örnekler kullanılmıştır. Ölçümlerde aşağıdaki eşitlikler'den yararlanılmıştır.

$$\text{Gözenek hacmi, cm}^3 = (W_D - W_K) \quad (1)$$

$$\text{Porozite (n)} \% = ((W_D - W_K) / V_T) \times 100 \quad (2)$$

Eşitlikte;  $W_D$  = doygún ağırlık,  $W_K$  = kuru ağırlık ve  $V_T$  = toplam hacmi göstermektedir.

Porozite ve serpentinleşme oranının etkisini görebilmek için 3 farklı lokasyondan (A1, M2 ve M3) 1, 5 ve 8 nolu örneklerde özgül ısı ve termal geçirgenlik deneyleri yapılmıştır. Etüvde 80 °C'ye kadar ısıtılmış temsili bazalt numuneleri strafordan yapılmış adyabatik bir hazne içerisinde sıcaklığı 20 °C olan saf su içerisine bırakılmış ve denge sıcaklığı termokupplar ile ölçülmüştür. Buradan hareketle aşağıdaki eşitlikler kullanılarak bazalt numunelerinin özgül ısı ve termal geçirgenlik değerleri hesaplanmıştır.

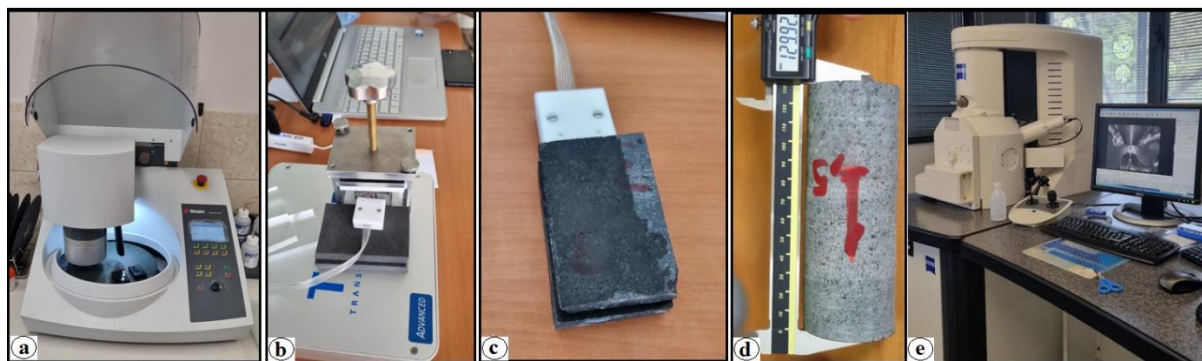
$$Q_{\text{Alınan}} = -Q_{\text{Verilen}} \quad (3)$$

$$m_{su}c_{p,su}(T_{\text{denge}} - T_{1,su}) = -m_{\text{bazalt}}c_{p,\text{bazalt}}(T_{1,\text{bazalt}} - T_{\text{denge}}) \quad (4)$$

$$\alpha = \frac{\text{iletilen ısı}}{\text{depolanan ısı}} = \frac{k}{\rho \cdot c_p} \quad (5)$$

Burada,  $\alpha$  termal geçirgenlik,  $k$  ısıl iletkenlik katsayısı,  $\rho$  yoğunluk,  $c_p$  özgül ısı değeriidir.

Bazalt örneklerinin A1, M2 ve M3 için TEM analizleri de ayrıca yapılmış olup, her numune doku, mikro çatlakların varlığı vb. açısından değerlendirilmiştir. Tablo 1'de kuru ve doymuş koşullar için ortalama termal iletkenlik, ve porozite değerleri ile üç örnek için termal geçirgenlik ve özgül ısı değerleri listelenmektedir. Termal geçirgenlik parametresinin hesaplanması sırasında kullanılan örneklerde ait yoğunluk değerleri A1 (1), M2 (5) ve M3 (8) için sırasıyla 2.90, 2.80 ve 2.78 gr/cm<sup>3</sup> tür. 1'den 4'e kadar olan bazalt örnekleri A1'e, 5 ve 6 numaralı örnekler M2'ye, 7 ve 8 numaralı örnekler M3'e aittir. Laboratuardaki bazı deneysel çalışmaların bir görünümü Şekil 3'te verilmiştir.



**Şekil 2.** Deneylere tabi tutulan bazı örnekler; yüzey düzeltme işlemi (a), ısı iletkenlik ölçümleri (b, c), porozite için hacim hesaplama (d), TEM (Taramalı Elektron Mikroskop) analizi (e) Some examples classified according to experiments; surface smoothing process (a), thermal conductivity measurements (b, c), volume programming for porosity (d), TEM (Scanning Electron Microscope) analysis (e)

**Tablo 1.** Bazaltların ısı iletkenlik ve porozite değerleri (Strength and apparent porosity values of basalts)

Kaya kodu	İsil İletkenlik Kuru (W m <sup>-1</sup> K <sup>-1</sup> )	İsil İletkenlik Doygun (W m <sup>-1</sup> K <sup>-1</sup> )	İsil geçirgenlik (m <sup>2</sup> / s)	Özgül ısı (J / kg °K)	n (Porozite) (%)
1	1.5870	1.6260	0.89 x 10 <sup>-6</sup>	615	0.65
2	1.5602	1.6058	-	-	0.66
3	1.5022	1.5144	-	-	0.84
4	1.5276	1.5338	-	-	0.75
5	1.0499	1.2215	0.62 x 10 <sup>-6</sup>	600	2.48
6	0.5207	0.9867	-	-	3.11
7	0.4042	0.7830	-	-	4.22
8	0.3685	0.4045	0.23 x 10 <sup>-6</sup>	583	5.29

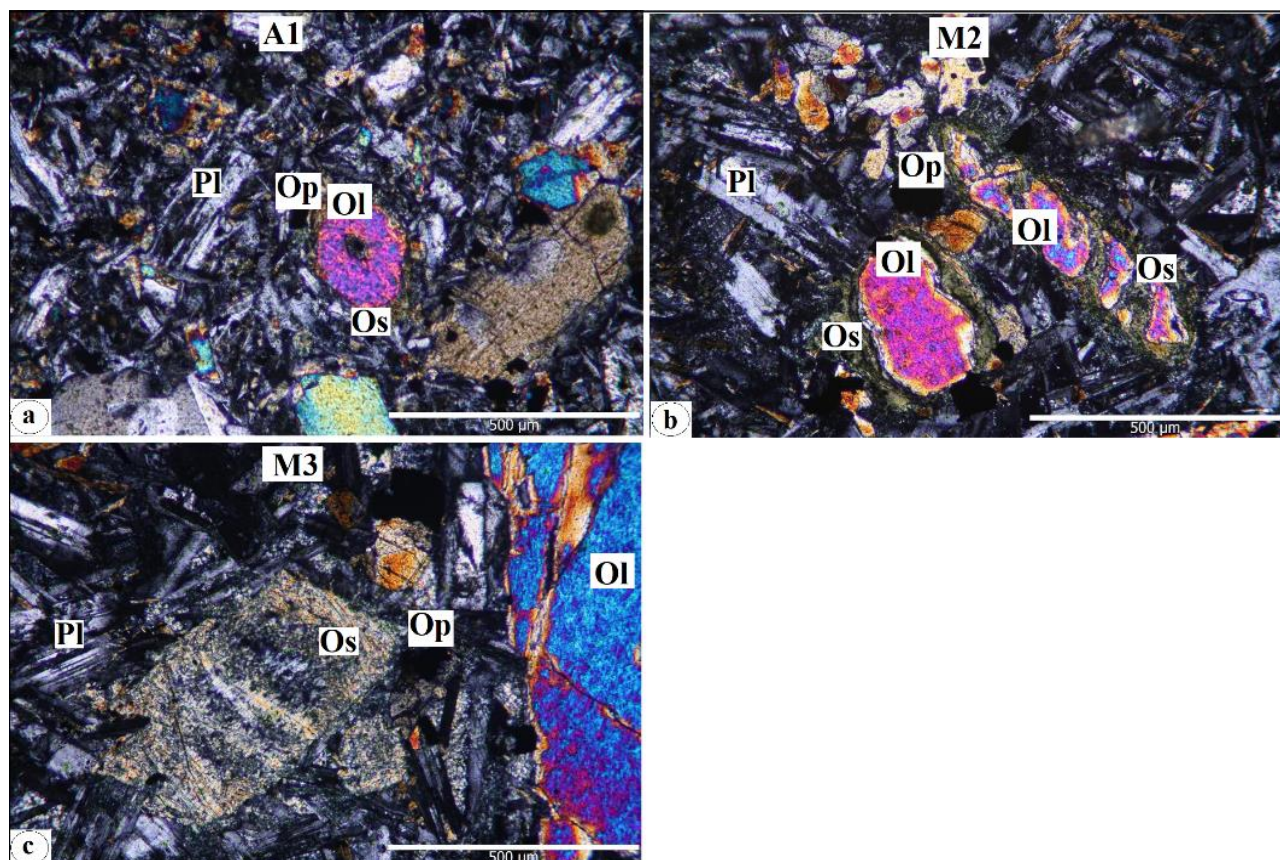
A1: 1-4, M2: 5-6, M3=7-8 nolu örnekler

### 2.3. Petrografik ince kesit analizleri (Petrographic thin section analyses)

Ince kesit sonuçlarına göre her üç bölgeden alınan kayaçların adı olivin ojit bazalt olup mikrogronü-mikrolitik porfirkik dokuya sahiptirler. Ana mineral olarak çalışılan bazaltlarda labradorit, ojit, biyotit, olivin ve opak (magnetit) mineraller gözlemlenmiştir. A1 bazaltlarında ortalama mineral yüzdesi labradorit % 48.5, ojit % 26.25, olivin % 19, biyotit % 2.25, gözeneklilik % 1.5 olarak belirlenmiştir. Olivinlerde serpantinleşme oranı % 8.25'tir. M2 bazaltlarında ortalama mineral yüzdesi labradorit % 47, ojit % 25.5, olivin % 19.5, biyotit % 3, gözeneklilik % 2 olarak belirlenmiştir. Olivinlerde serpantinleşme oranı % 22'dir. M3 bazaltlarında ortalama mineral yüzdesi labradorit % 46.5, ojit % 27.5, olivin % 19.5, biyotit % 2.5, gözeneklilik % 2 olarak belirlenmiştir. Olivinlerde serpantinleşme oranı % 75.5'tir. A1, M2 ve M3 bazaltlarının mikrogronü-mikrolitik hamuru içerisindeki olivinlerin serpantinleşme oranı toplam kayaçtaki serpantinleşme oranına yaklaşık olarak eşittir. A1, M2 ve M3 bazaltlarına ait en düşük ve en yüksek mineral yüzdesi ve serpantinleşme oranları Tablo 2'de verilmiştir.

**Tablo 2.** Bazaltların ince kesit analiz sonuçları (Thin section analysis results of basalts)

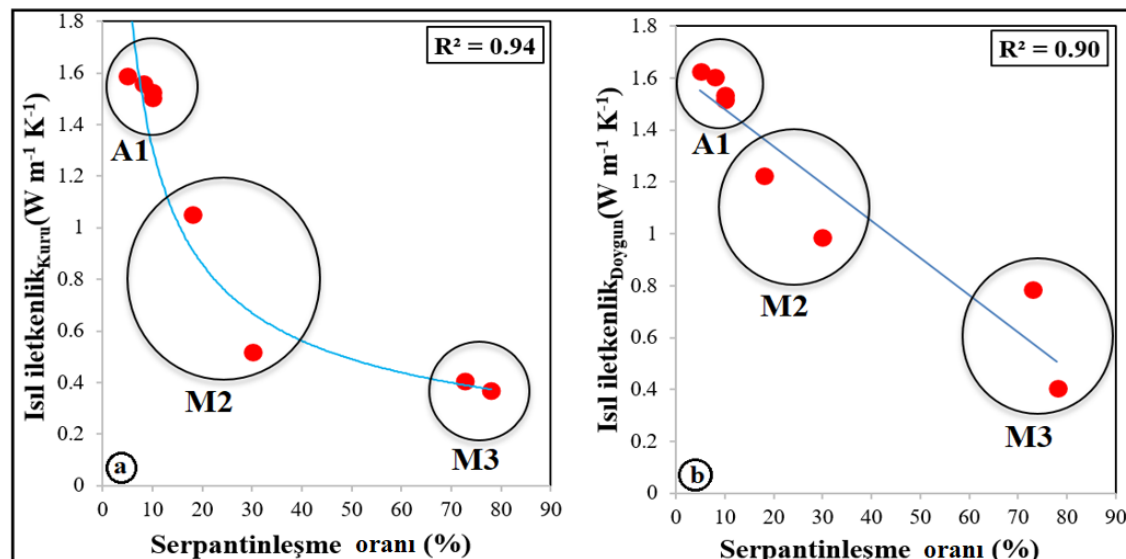
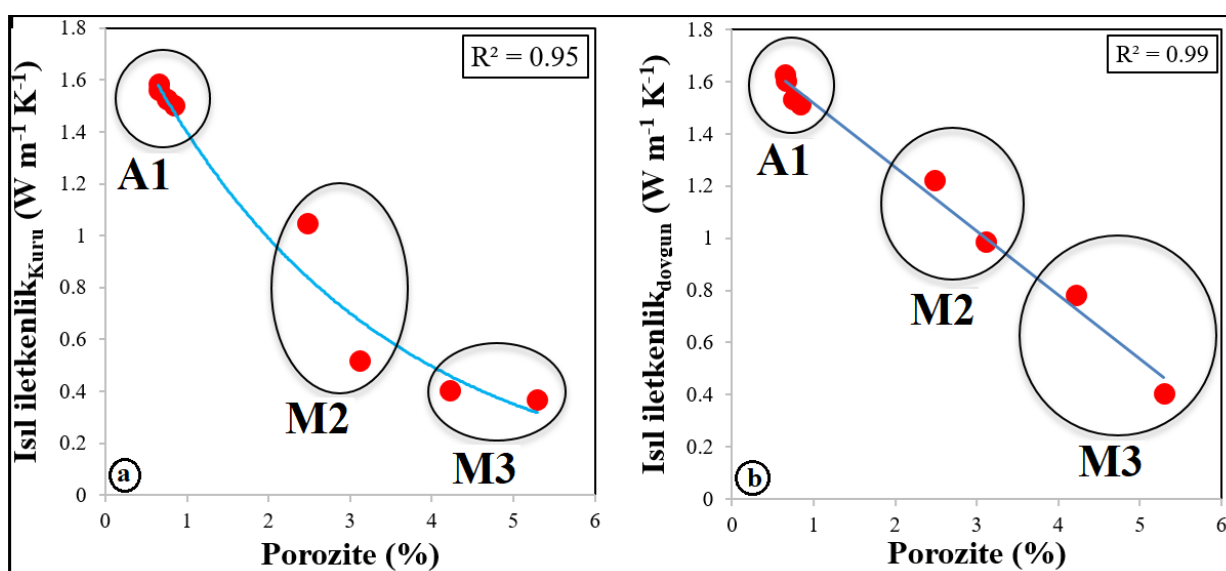
Mineraller	Ortalama mineral içeriği (%)		
	A1	M2	M3
Labradorit	47-50	46-48	46-47
Ojit	25-28	26-27	27-28
Opak	2-3	3	2
Olivin	18-20	19-20	19-20
Biyotit	2-3	3	2-3
Boşluk	1-2	2	2
Os	5-15	15-35	70-80

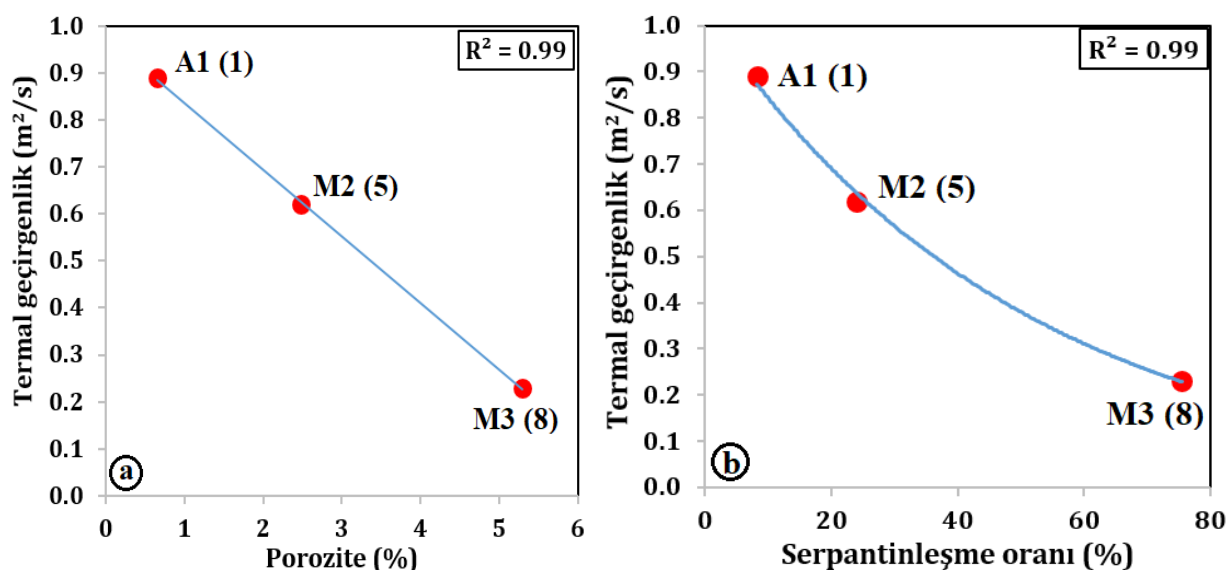


**Şekil 2.** Bazaltların mikroskop görüntüleri, A1 (a), M2 (b) ve M3 (C), Pl: Plajiyoklaz, Ol: Olivin, Op: Opak mineral, Os: Olivinin serpantinleşme oranı(Microscope camera of basalts, A1 (a), M2 (b) and M3 (C), Pl: Plagioclase, Ol: Olivine, Op: Opaque mineral, Os: Serpentinization rate of olivine)

### 3. Deneysel Sonuçlar (Experimental Results)

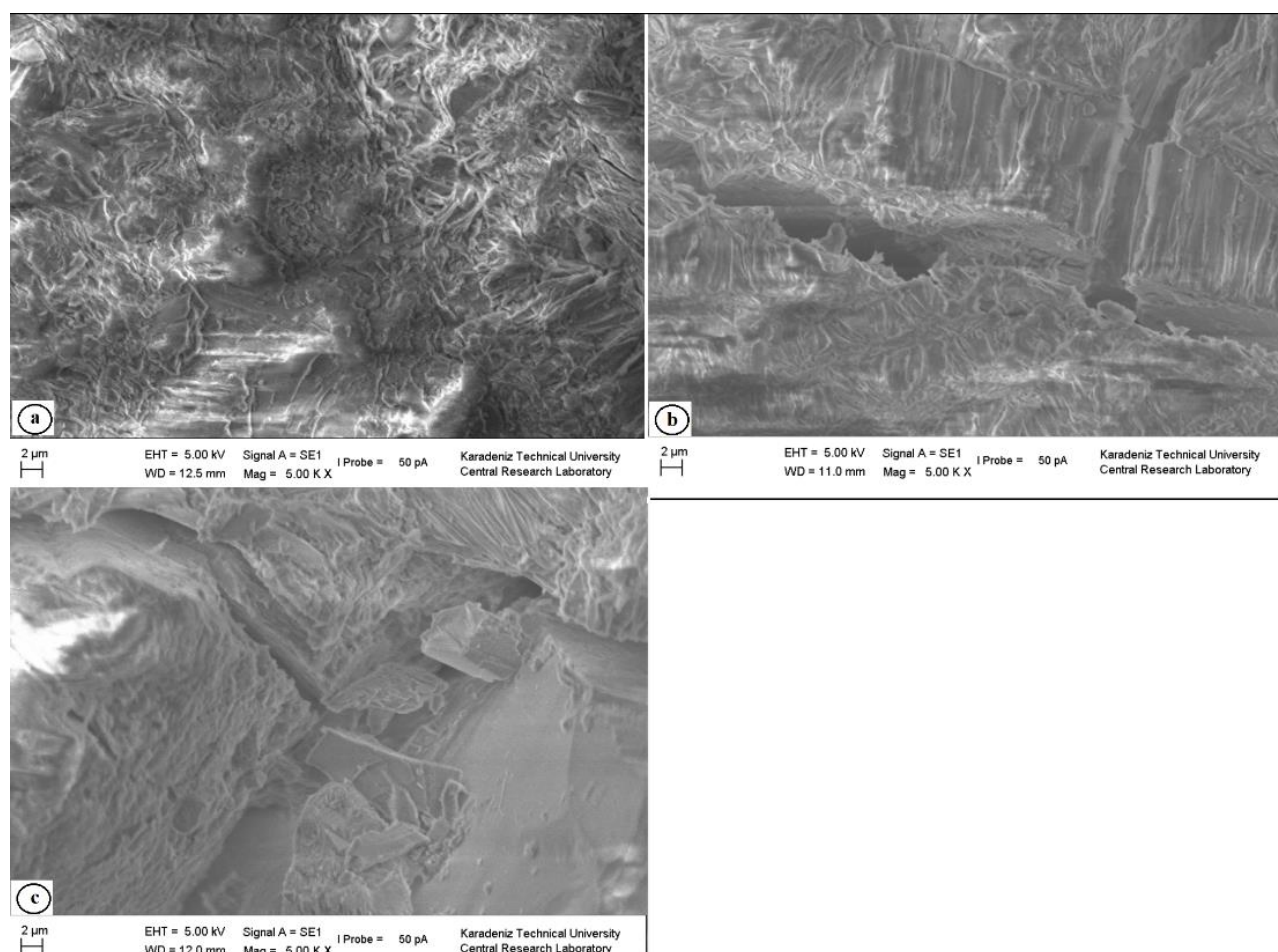
Tablo 1 değerlendirdiğinde ıslı iletkenlik, ıslı geçirgenlik ve porozite değerlerinin A1, M2 ve M3 bölgeleri için farklılık arz ettiği anlaşılmaktadır. Bu farklılığı daha iyi anlamak ve parametreler arasındaki ilişkiyi görebilmek için korelasyon grafikleri çizilmiştir (Şekil 4a ve b). Grafikler incelendiğinde doygun ve kuru ıslı iletkenlik değerleri ile porozite arasında çok yüksek korelasyon katsayıları elde edilmiştir ( $R^2 > 0.90$ ). Porozite değerlerinin artmasıyla kuru ve doygun ıslı iletkenlik değerlerinin düşüğü gözlemlenmiştir. Tablo 2 incelendiğinde ise bazaltların mineral içeriği genel olarak eş değerdir. Ancak, bazaltlar içerisinde yaygın olarak bulunan olivin minerallerinde 3 bölge için değişen oranlarda serpantinleşmeye rastlanmıştır. Söz konusu ıslı iletkenlik ve porozite değerlerindeki değişim neden olan en önemli faktörün artan serpantinleşme oranı olduğu kanaatine varılmıştır. Serpantinleşme oranı ve doygun ve kuru ıslı iletkenlik değerleri arasındaki ilişki bütün kayaçlar için araştırılmıştır (Şekil 5a, b). Grafiklere göre serpantinleşme oranı arttıkça doygun ve kuru ıslı iletkenlik değerleri düşmüştür. ıslı geçirgenlik ile porozite ve serpantinleşme oranı arasındaki ilişkiler Şekil 6 a ve b'de gösterilmiştir. ıslı iletkenliğine benzer olarak ıslı geçirgenlik değerleri arttıkça hem porozite de hem de serpantinleşme oranında düşüş görülmüştür.





Şekil 5. Termal geçirgenlik ( $\times 10^{-6}$ ) ile porozite (a) ve serpentinitleşme oranı (b) (Relationship between thermal diffusivity ( $\times 10^{-6}$ ) with porosity (a) and rate of serpentinization (b))

Bazaltlara ait TEM (Taramalı Elektron Mikroskop) görüntüleri A1, M2 ve M3 için Şekil 6'da yer almaktadır. TEM (Taramalı Elektron Mikroskop) analizlerine göre mikro çatlaklar özellikle M2 ve M3 bazaltlarında yaygındır. A1 bazaltlarının dokusal özellikleri açısından daha sağlam olduğu ve yapısal kusurlardan diğerlerine göre daha uzak olduğu anlaşılmıştır. Dolayısıyla TEM (Taramalı Elektron Mikroskop) analizleri ile A1'in ısıl iletkenlik değerlerinin yüksek olması ve porozitesinin düşük olmasını sağlayan yapısı ortaya çıkmıştır.



Şekil 6. Bazaltların TEM görüntüler; A1 bazalt (a), M2 bazalt (b), M3 bazalt (c) SEM (Scanning Electron Microscope) images of basalts; A1 basalt (a), M2 basalt (b), M3 basalt (c)

Literatürde serpantinleşme oranı ile kayaçların bazı mühendislik parametreleri arasında ilişki kurulmuştur. Diamantis vd. (2016) serpantinleşme oranı % 3 ila % 92 arasında değişen kayaçlar kullanmışlardır ve serpantinleşme oranı ile kohezyon ve içsel sürtünme açısı arasında korelasyon analizleri yapmışlardır. Giannakopoulou vd. (2018) ofiyolit kompleksine ait, lerzolit, harzburjıt ve dunit içeren peridotitlerdeki serpantin yüzdesi ile kaya dayanımı arasında orta derecede bir ilişki ( $R^2=0.62$ ) bulmuşlardır. Bu çalışmada ise ısıl iletkenlik değerleri ile serpantinleşme oranı arasında güçlü bir ilişki elde edilmiştir.

Aynı yaşa (Eosen) ait aynı litolojiye ait bazaltlardan elde edilen değerler oldukça farklıdır. Bunun nedeni ilk başta porozite değerlerindeki farklılık gibi görünmektedir. Ancak porozitenin farklı olmasına neden olan etkenlerden biri de şüphesiz farklı bölgedeki bazaltları etkileyen olivinlerin serpantinleşmesidir. Serpantinleşme kayaçların iç genleşmesine yol açmakta, meydana gelen basınç nedeniyle özellikle M2 ve M3 bazaltlarında mikro çatlakların geliştiği kanaatine varılmıştır. Aynı litolojiye sahip olmasına rağmen serpantinleşme derecelerinin oldukça farklı olmasının nedenleri ise sahada bulunan bazı jeolojik unsurlardır. Şekil 1b'de çalışma sahasına ait jeolojik harita incelediğinde çalışma sahası yakın civarında bir volkan konisi ve 2 adet fay bulunmaktadır. Bunlar alterasyondan sorumlu başlıca jeolojik unsurlar olarak düşünülmüştür. M3 grubu bazaltlar volkan konisine en yakın (< 1 km) iken, A1 grubu bazaltlar en uzak (10 km) noktada bulunmaktadır. Ayrıca M3 bazaltlarına yakın mesafede orta boy bir fay mevcuttur. M2 grubu bazaltlar, fay kontağına yakın ancak, M3 grubuna oranla volkan konisinden uzaktadır. A1 bazaltları ise her iki yapısal unsurdan (fay ve volkan konisi) daha uzakta yer almaktadır. Ayrıca stratigrafik olarak A3 grubu bazaltların en üstte bulunması, A2 grubu olanların M3'ün alt seviyesinde ve A1 bazaltlarının ise en alt konumda bulunması yüzeysel alterasyondan etkilenme durumlarını değiştirmektedir.

Göründüğü gibi kayaçlar özellikle bazaltlarda selpantinleşmeden dolayı gözenekliliğin artması ısıl depolamanın azalmasına yol açmaktadır. Ayrıca yapılan çalışma sonucunda bulunan ısıl iletim katsayıları ve termal geçirgenlik değerleri, artan selpantinleşmeden dolayı azalma eğilimi göstermiştir. Buradan hareketle selpantinleşmeden doğan gözeneklilik hem ısıl iletim katsayıları ile hem de ısıl depolama ile doğrudan bağlantılıdır. A. Andreozzi vd. (2012) yaptıkları çalışmada porozite n (%) değeri 0.2 den 0.6 ya artarken ısıl depolama değerinde düşme olduğu görülmüştür. Sunulan bu çalışmada da porozite n (%) değeri 0.65 ile 5.29 arasında artarken, kuru ısıl iletim katsayısı 1.6260-0.4045 ( $\text{Wm}^{-1}\text{K}^{-1}$ ), Doygun ısıl iletim katsayısı 1.5870-0.3685 ( $\text{Wm}^{-1}\text{K}^{-1}$ ) değerleri arasında azalma eğilimi göstermiştir. Bazaltlarda gözenekliliğin düşmesiyle ısıl iletim katsayısının ve ısıl depolamanın arttığı yapılan çalışma ile görülmüştür.

Kaya kaynaklı ısıl depolama sistemleri su bazlı sistemlere göre çok daha yüksek sıcaklıklara dayanabilmektedir. Örneğin; Konut uygulamalarında yaygın olarak algılanan ısıl depolama malzemeleri için gerekli parametrelerden biri de termal iletkenlik katsayı değeridir. Söz konusu değerin  $0.3 \text{ Wm}^{-1}\text{K}^{-1}$  den yüksek olması durumunda iyi termal iletkenlik kapsamında değerlendirilebilmektedir (Yalçınkaya, 2022). Bu çalışmada kullanılan bazaltlarda özellikle taze olanların ve serpantinleşme oranları düşük olanların termal iletkenlik katsayıları mühendislik uygulamaları açısından tatmin edici görünmektedir. Ancak kaya malzemelerin ısıl depolama malzemesi olarak kullanıldığı durumlarda sahanın büyüğünü bağlı olarak ısıl iletkenlik değerleri oldukça değişkenlik gösterecektir. ısıl depolamak amacıyla kullanılan kayaçlar, ocağın büyüğünü bağlı olarak fay hattına ve volkan konisi gibi jeolojik yapılara yakınlığına bağlı olarak alterasyona maruz kalabilmektedir. Dolayısıyla ısıl depolama özelliği ile doğrudan ilişkili olan ısıl iletkenlik katsayılarında düşüşler yaşanabilmektedir.

## 5. Sonuç ve Tartışma (Result and Discussion)

Bu çalışmada, kayaçların ısıl iletkenlik, ısıl geçirgenlik ve buna bağlı ısıl depolama özelliklerinin incelenmesi açısından aynı sahanın farklı noktalarından alınan bazalt örnekleri kullanılmıştır. Mineralojik ince kesit analizleri, olivinin serpantinleşmesinin A1, M2 ve M3 bazaltları için sırasıyla ortalama % 8.25, % 24 ve % 75.5 olduğunu göstermiştir. Olivinlerdeki artan serpantinleşme oranı nedeniyle ısıl iletkenlik katsayıları oldukça azalmıştır. Bu çalışmada bazaltların ısıl iletkenlik, ısıl geçirgenlik ile porozite ve serpantinleşme oranı arasında güçlü ilişkiler görülmüştür. Serpantinleşme kayaçların iç genleşmesine neden olacağının ardından basınç nedeniyle özellikle M2 ve M3 bazaltlarında mikro çatlakların geliştiği dolayısıyla porozite değerlerini artırdığı düşünülmektedir. Bazaltlarda aynı sahadan alınsa bile birbirinden oldukça farklı serpantinleşme oranı görülmüştür. Özellikle M3 bazaltlarındaki serpantinleşmeye volkan konisi ile fay hattına yakınlık ve M3'ün stratigrafik olarak daha yüksek kotlarda bulunmasının neden olabileceği düşünülmüştür. Sonuç olarak ısıl depolama malzemesi olarak kullanılan kayaçlara ait büyük ölçekli sahalarda ısıl iletkenlik ve ısıl geçirgenlik katsayılarındaki değişimler araştırılmalı ve varsa serpantinleşme gibi alterasyon ürünleri kontrol edilmelidir. Bu nedenle ısıl depolama amacıyla kaya içinde yapılan mühendislik çalışmalarının düşük alterasyonlu bölgelerde yürütülmesi, ısıl depolama, üretim ve ekonomi açısından bir kazanımındır.

## Teşekkür (Acknowledgement)

Yazarlar, Prof. Dr. Mehmet Emin ARICIYA'ya, Prof. Dr Ahmet SARI'ya, Isı ölçümlerinde Arş. Gör. Serhat Berk AKÇAY, TEM analizlerindeki yardımcıları için Öğr. Gör. Ümit ÖZSANDIK'a teşekkür ederler.

## Çıkar Çatışması (Conflict of Interest)

Yazarlar tarafından herhangi bir çıkar çatışması beyan edilmemiştir. No conflict of interest was declared by the authors.

## Kaynaklar (References)

- Andreozzi, A., Buonomo, B., Manca, O., Mesolella, P., Tamburrino, S., (2012). Numerical investigation on sensible thermal energy storage with porous media for high temperature solar systems. *Journal of Physics*, 395
- Benjamin Bouvry, B., Carrion, A.J.F., Banda, E.J.K., (2017). Mediterranean basin basalts as potential materials for thermal energy storage in concentrated solar plants. *Solar Energy Materials and Solar Cells*, 50-59.
- Okello, D., Fonng, C.W., Niydal, O.J., (2014). An experimental investigation on the combined use of phase change material and rock particles for high temperature (350 0C) heat storage. *Energy Conversion and Management*, 1-8.
- Yalçınkaya, D.Y., Günerhan, H., Hepbaşlı, A., Bayramian, H., (2022). Duyular Isıl Enerji Depolama Sistemlerinin Enerji Yönünden İncelenmesi. *Engineer and Machinery*, 159-185.
- Dincer, I. (1999). Evaluation and selection of energy storage systems for solar thermal applications. *International Journal of Energy Research*, 1017-1028.
- Dincer, I. (2002). On thermal energy storage systems and applications in buildings. *Energy and Buildings*, 377-388.
- Furnas, C.C., (1930). Heat transfer from a gas stram to e bed of broken solids-II. *Industrial and Engineering Chemistry*, 721-731.
- Hasnain, S.M., Smiai, M., Al-Saedi, Y., Al-Khalidi, M., (1996). Energy Research Institute-Internal Report, KACST, Riyadh, Saudi Arabia.
- Liu, J., Chang, Z., Wang, L., Xu, J., Kuang, R., Z Wu, Z., (2020). Exploration of basalt glasses as high-temperature sensible heat storage materials. *ACS OMEGA*, 19236-19246.
- Park, J-W., Park, D., Choi, B-H., Park, E-S., (2014). Analysis on heat transfer and heat loss characteristics of rock cavern thermal energy storage. *Engineering Geology*, 142-156.
- Kozak, M., Kozak, Ş., (2012). Enerji Depolama Yöntemleri. *Mechanical Technology*, 17-29.
- Schumann, T., (1929). Heat Transfer. A. liquid flowing through a porous prism. *Journal of the Franklin Institute*, 405-416.
- Nahhas, T., Py, X., (2019). Experimental investigation of basalt rocks as storage material for high-temperature concentrated solar power plants. *Renewable and Sustainable Energy Reviews*, 226-235.
- Jemmala, Y., Zari, N., (2017). Experimental characterization of siliceous rocks to be used as filler materials for air-rock packed beds thermal energy storage systems in concentrated. *Solar Energy Materials and Solar Cells*, 33-42.